

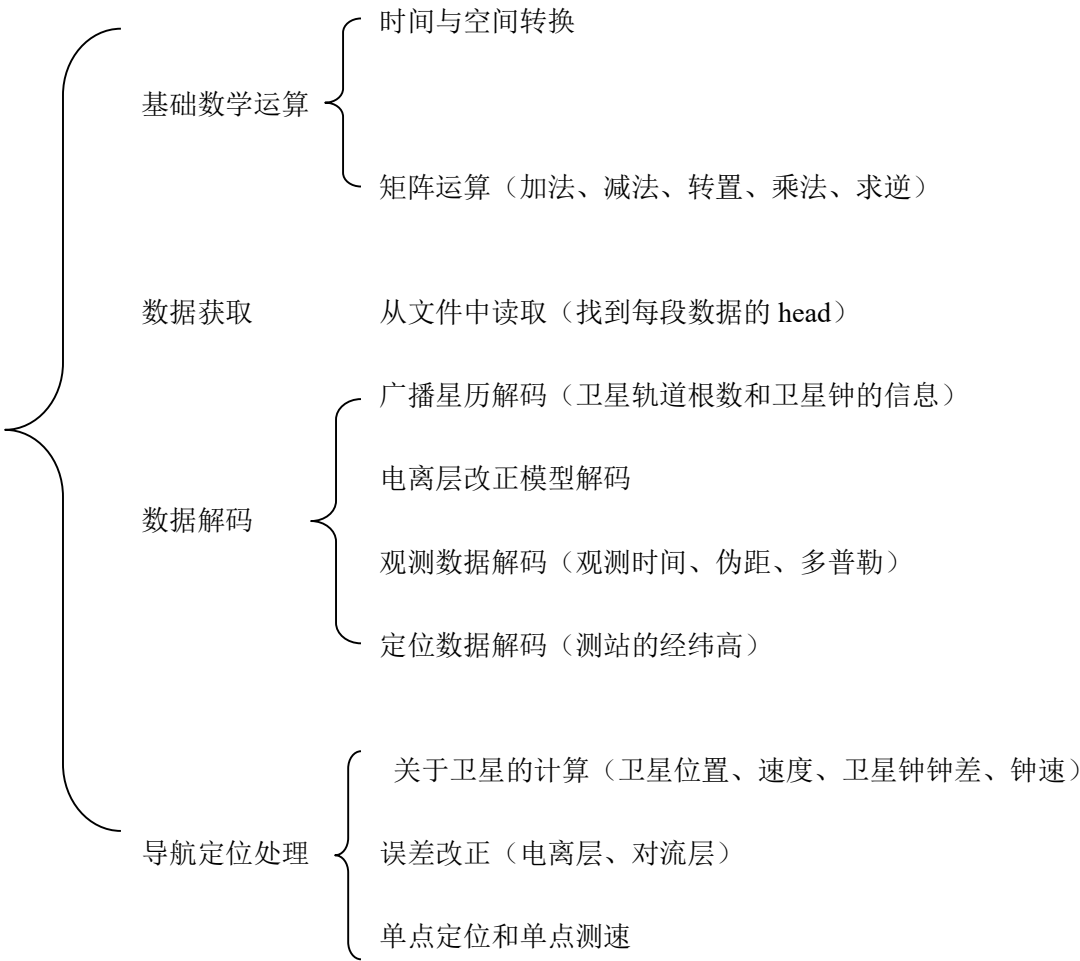
# 目 录

第 1 章 程序设计概述.....	2
1.1 程序模块设计.....	2
1.2 模块间的关系.....	3
第 2 章 算法设计.....	4
2.1 单点定位算法.....	4
2.2 算法流程图.....	6
2.3 单点测速算法.....	7
第 3 章 程序详细设计.....	8
3.1 读文件模块.....	8
3.2 解码模块.....	9
3.3 卫星计算模块.....	9
3.4 电离层模块.....	9
3.5 对流层模块.....	10
3.6 单点定位模块.....	10
3.7 单点测速模块.....	10
第 4 章 结果和精度分析.....	11
4.1 结果输出.....	11
4.2 单点定位结果和精度分析.....	11
4.3 单点测速结果和精度分析.....	14
附录：基本公式.....	16
A1 计算卫星位置.....	16
A2 计算卫星速度.....	17
A3 计算卫星钟差.....	18
A4 计算卫星钟速.....	18
A5 电离层改正.....	18
A6 对流层改正.....	19
A7 计算卫星方位角和高度角.....	20

# 第 1 章 程序设计概述

## 1.1 程序模块设计

为实现 SPP（伪距单点定位）软件的基本功能，设计了如下一些具有低耦合、高内聚的函数模块，这些模块共同合作实现伪距单点定位和单点测速的功能。软件模块主要分为四大板块：基础数学运算、数据获取、数据解码和导航定位处理。数学运算模块包含时间转换、空间转换、矩阵运算；数据获取是从二进制文件中读取数据；数据解码分为对卫星星历、电离层改正模型、观测数据和定位数据的解码；导航定位处理模块包括：关于卫星计算模块、误差改正模块、单点定位和单点测速模块。（如下）



## 1.2 模块间的关系

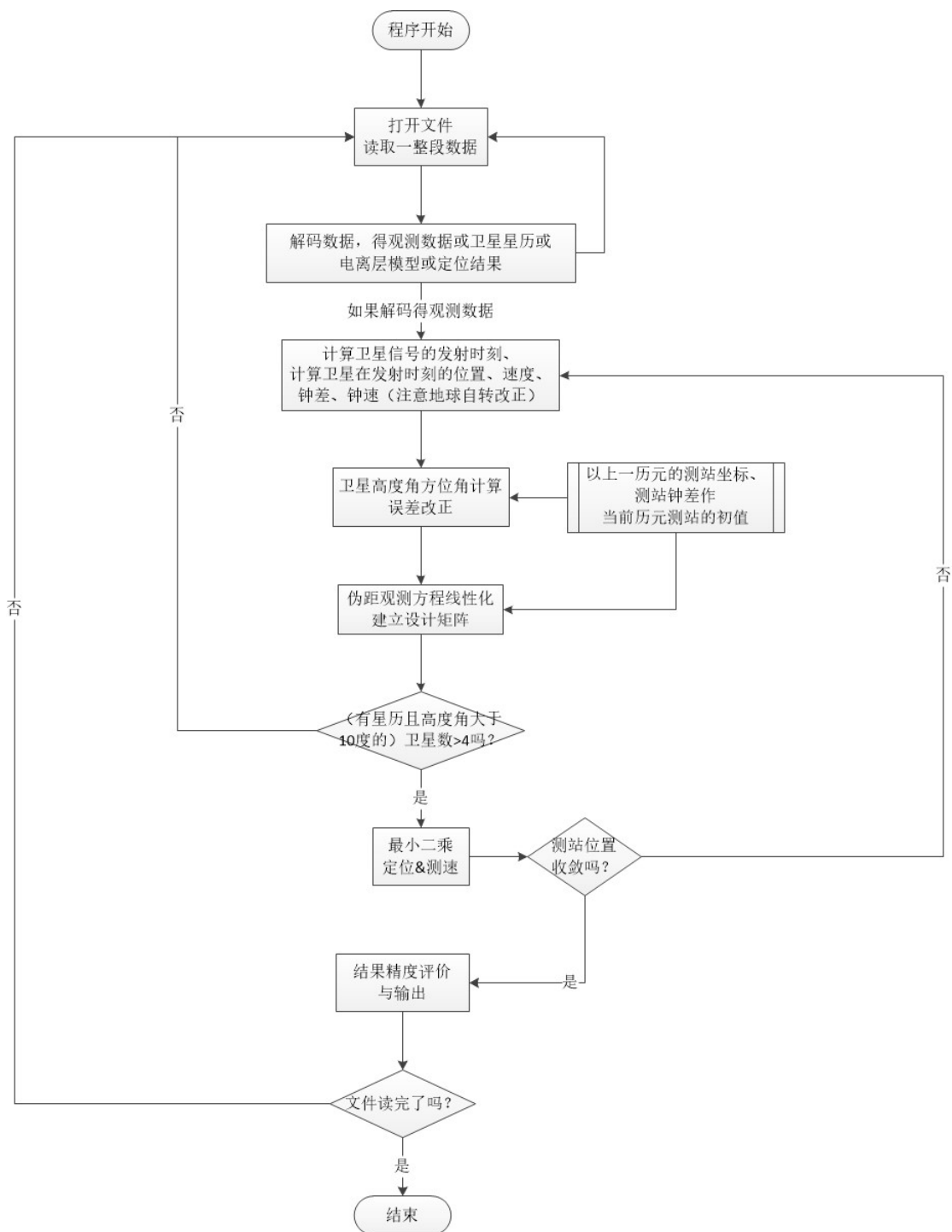


图 1 各个模块合作完成 SPP

## 第 2 章 算法设计

### 2.1 单点定位算法

1、读取导航电文信息、读取观测值信息（假定同时对  $k$  颗卫星进行了观测）。假定信号的接收时刻为  $t_r$  [表面时]

注意：有伪距观测值的卫星，不一定有其星历。没有星历就不能计算卫星的位置，该卫星的伪距观测值就不能用于定位。程序中应予以判断。

2、给定待定点的初始（近似）坐标  $(X, Y, Z)^T$  和初始（近似）的接收机钟差  $\delta t_r$ ，通常初始时可以将这些值均设为 0，或上一历元计算得到的测站位置和接收机钟差。

3、选取第一颗卫星的伪距观测值，假定其伪距为  $\rho^{S_j}$ ，在这里  $j=0$

4、根据所选取观测值所属的卫星和观测时间，获取相应的卫星星历数据，要求该星历数据的 toe 距观测历元时刻最近。

5、计算近似的卫星信号传播时间，计算信号发射时刻  
算法步骤：

1) 更新  $t_r[GPS] = t_r[\text{表面时}] - P/c$

2) 以  $t_r[GPS]$  为参考时刻，计算卫星钟差  $\delta t^j$

3) 更新  $t_r[GPS] = t_r[\text{表面时}] - P/c - \delta t^j$ ，得到卫星发射时间

6、计算卫星在信号发射时刻时，在该时刻时的地固系下的位置  $(X^{S_j}, Y^{S_j}, Z^{S_j})_{T^{S_j}}^T$  和速度

PS：计算卫星位置、速度的公式见附录

7、通过绕 Z 轴的旋转变换，计算卫星在信号发射时刻时，在信号接收时刻时的地固系下的位置

$$\begin{bmatrix} X'_s \\ Y'_s \\ Z'_s \end{bmatrix} = \begin{bmatrix} \cos(\omega\tau) & \sin(\omega\tau) & 0 \\ -\sin(\omega\tau) & \cos(\omega\tau) & 0 \\ 0 & 0 & 1 \end{bmatrix} \begin{bmatrix} X_s \\ Y_s \\ Z_s \end{bmatrix}$$

其中： $\omega$  为地球自转角速度

$\tau$  为信号传播时间

$$\tau = t_r[GPS] - t_s[GPS]$$

8、计算卫星的高度角、方位角，计算卫星信号传播路径上的电离层延迟和对流层延迟

PS：当测站位置接近于地球表面时才考虑误差改正

具体公式见附录

9、计算与相应卫星有关的误差方程系数，具体为：

注意：卫星的位置应该已经经过了地球自转改正

$$l_i^j(t) = \frac{X_i^0 - X^j(t - \Delta t)}{\rho_i^{j0}(t, t - \Delta t)}$$

$$m_i^j(t) = \frac{Y_i^0 - Y^j(t - \Delta t)}{\rho_i^{j0}(t, t - \Delta t)}$$

$$n_i^j(t) = \frac{Z_i^0 - Z^j(t - \Delta t)}{\rho_i^{j0}(t, t - \Delta t)}$$

$$\rho_i^{j0}(t, t - \Delta t) = \sqrt{(X_i^0 - X^j(t - \Delta t))^2 + (Y_i^0 - Y^j(t - \Delta t))^2 + (Z_i^0 - Z^j(t - \Delta t))^2}$$

10、计算 O-C 值，具体为：

$$w_i^j(t) = P_i^j(t) - (\rho_i^{j0}(t, t - \Delta t) + \delta t_i^0(t) - c \cdot \delta t^j(t - \Delta t) + d_{i \text{ trop}}^j(t) + d_{i \text{ ion}}^j(t))$$

11、形成法方程

注意：这里只是更新与相应卫星有关的误差方程系数，逐步形成法方程

12、选取下一颗卫星的观测值，假定其伪距为  $\rho^{S_j}$

13、重复步骤 4——12，直到处理完所有观测值的观测方程为止

14、最小二乘法解算法方程，计算出被估参数近似值的改正数  $(x, y, z, \delta \rho_R)^T$ ， $\delta \rho_R$  为

由于接收机钟差所造成的距离误差的改正数

$$\mathbf{v} = \mathbf{B}\mathbf{x} - \mathbf{w} \quad \mathbf{v} = [v_i^1 \quad v_i^2 \quad \dots \quad v_i^s]^T$$

$$\mathbf{B} = \begin{bmatrix} l_i^1 & m_i^1 & n_i^1 & 1 \\ l_i^2 & m_i^2 & n_i^2 & 1 \\ \vdots & \vdots & \vdots & \vdots \\ l_i^s & m_i^s & n_i^s & 1 \end{bmatrix} \quad \mathbf{x} = [x_i \quad y_i \quad z_i \quad \delta \rho_i]^T$$

$$\mathbf{w} = [w_i^1 \quad w_i^2 \quad \dots \quad w_i^s]^T$$

观测值权阵为  $\mathbf{P}$ ，则有：

$$\hat{\mathbf{x}} = (\mathbf{B}^T \mathbf{P} \mathbf{B})^{-1} \mathbf{B}^T \mathbf{P} \mathbf{w}$$

15、计算出被估参数  $(X, Y, Z, \delta t_R)^T$ ，并将它们分别作为下次迭代计算时的待定点的

近似坐标和近似接收机钟差

16、重复步骤 3——15，直到计算出的被估参数收敛为止

## 2.2 算法流程图

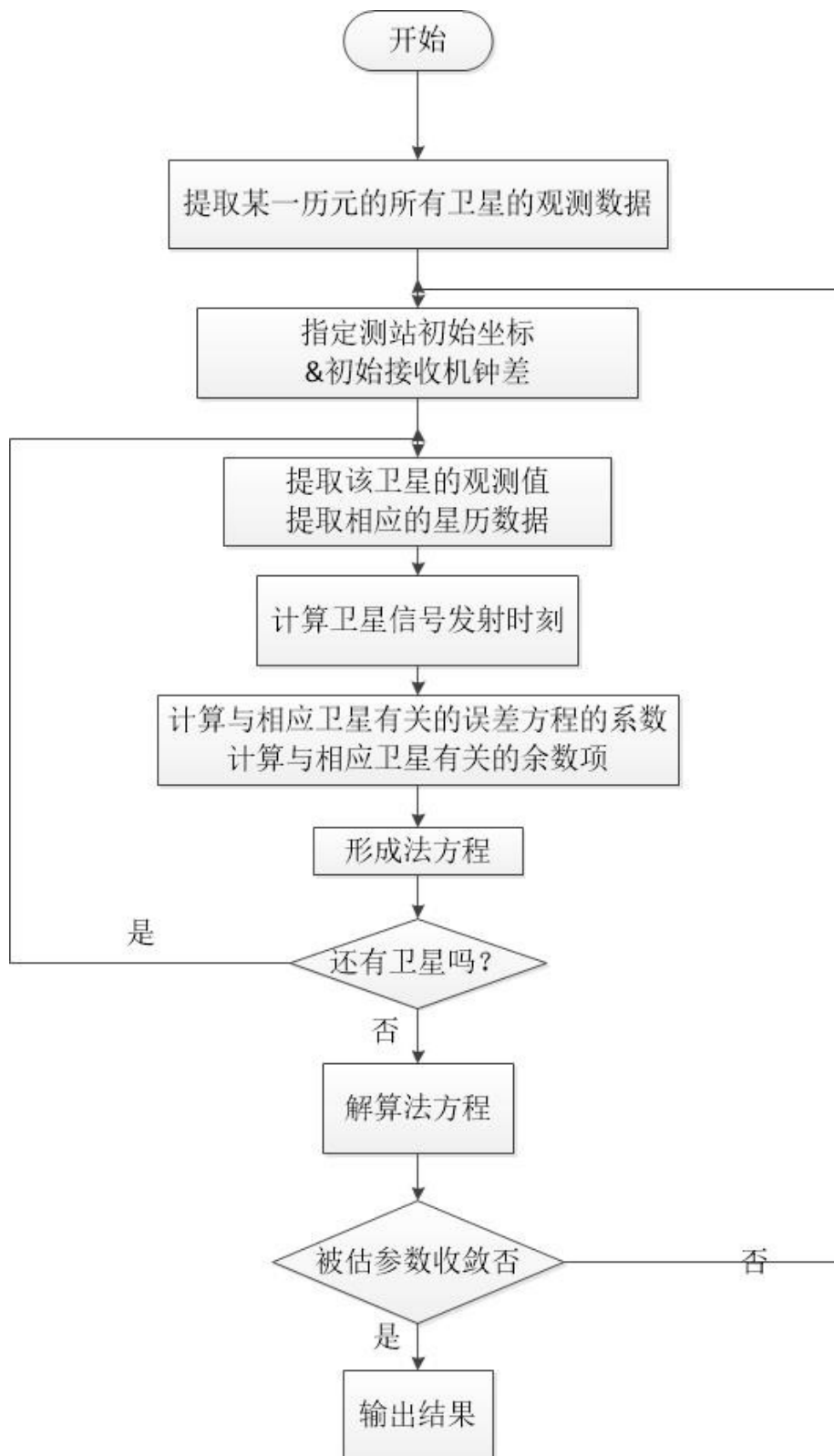


图 2 单点定位算法

## 2.3 单点测速算法

单点测速的观测方程为

$$D_i^j(t) + v_i^j(t) = \dot{\rho}_i^j(t, t - \Delta t) + \delta \dot{t}_i(t) - c \cdot \delta \dot{t}^j(t - \Delta t) + \dot{d}_{trop}^j(t) + \dot{d}_{ion}^j(t)$$

$$\dot{\rho}_i^j(t, t - \Delta t) = \frac{(X^j - X_i)(\dot{X}^j - \dot{X}_i) + (Y^j - Y_i)(\dot{Y}^j - \dot{Y}_i) + (Z^j - Z_i)(\dot{Z}^j - \dot{Z}_i)}{\rho_i^j(t, t - \Delta t)}$$

$$\rho_i^j(t, t - \Delta t) = \sqrt{(X^j(t - \Delta t) - X_i)^2 + (Y^j(t - \Delta t) - Y_i)^2 + (Z^j(t - \Delta t) - Z_i)^2}$$

其中：

$D_i^j(t)$ 为历元 $t$ 时刻测站 $i$ 对于卫星 $j$ 的多普勒观测值,以 $\text{m/s}$ 为单位；

$v_i^j(t)$ 为其改正数；

$\delta \dot{t}_i(t)$ 为接收机钟差变化率,以 $\text{m/s}$ 为单位；

$\delta \dot{t}^j(t - \Delta t)$ 为卫星钟差变化率,  $\delta \dot{t}^j(t - \Delta t) = a_1 + 2a_2(t - \Delta t - t_{\text{toc}}) + \Delta \dot{t}_r$ ；

$\Delta \dot{t}_r$ 为相对论改正的导数

$\dot{d}_{trop}^j(t)$ 为对流层延迟变化率,在短时间内对流层的变化率可忽略不计,单位 $\text{m/s}$ ；

$\dot{d}_{ion}^j(t)$ 为电离层延迟变化率,在短时间内电离层的变化率可忽略不计,单位 $\text{m/s}$ 。

经过单点定位算法以后,已经计算得到卫星位置和速度、测站的位置和钟差,待求量只剩测站的速度和接收机钟速,整理误差方程可得：

$$D_i^j(t) + v_i^j(t) = \dot{\rho}_i^j(t, t - \Delta t) - c \cdot \delta \dot{t}^j(t - \Delta t)$$

$$+ \frac{X_i - X^j(t - \Delta t)}{\rho_i^j(t, t - \Delta t)} \dot{X}_i + \frac{Y_i - Y^j(t - \Delta t)}{\rho_i^j(t, t - \Delta t)} \dot{Y}_i + \frac{Z_i - Z^j(t - \Delta t)}{\rho_i^j(t, t - \Delta t)} \dot{Z}_i + \delta \dot{t}_i(t)$$

$$\dot{\rho}_i^j(t, t - \Delta t) = \frac{(X^j - X_i)\dot{X}^j + (Y^j - Y_i)\dot{Y}^j + (Z^j - Z_i)\dot{Z}^j}{\rho_i^j(t, t - \Delta t)}$$

$$\rho_i^j(t, t - \Delta t) = \sqrt{(X^j(t - \Delta t) - X_i)^2 + (Y^j(t - \Delta t) - Y_i)^2 + (Z^j(t - \Delta t) - Z_i)^2}$$

若令：

$$l_i^j(t) = \frac{X_i - X^j(t - \Delta t)}{\rho_i^j(t, t - \Delta t)}, \quad m_i^j(t) = \frac{Y_i - Y^j(t - \Delta t)}{\rho_i^j(t, t - \Delta t)}, \quad n_i^j(t) = \frac{Z_i - Z^j(t - \Delta t)}{\rho_i^j(t, t - \Delta t)}$$

$$w_i^j(t) = D_i^j(t) - (\dot{\rho}_i^j(t, t - \Delta t) - c \cdot \delta \dot{t}^j(t - \Delta t))$$

则： $v_i^j(t) = l_i^j(t)x_i + m_i^j(t)y_i + n_i^j(t)z_i + \delta \dot{t}_i(t) - w_i^j(t)$

然后用最小二乘法解算误差方程：

$$\mathbf{v} = \mathbf{B}\mathbf{x} - \mathbf{w}$$

$$\mathbf{v} = \begin{bmatrix} v_i^1 & v_i^2 & \dots & v_i^s \end{bmatrix}^T, \mathbf{B} = \begin{bmatrix} l_i^1 & m_i^1 & n_i^1 & 1 \\ l_i^2 & m_i^2 & n_i^2 & 1 \\ \vdots & \vdots & \vdots & \vdots \\ l_i^s & m_i^s & n_i^s & 1 \end{bmatrix}$$

$$\mathbf{x} = \begin{bmatrix} \dot{X}_i & \dot{Y}_i & \dot{Z}_i & \delta\dot{\rho}_i \end{bmatrix}^T, \mathbf{w} = \begin{bmatrix} w_i^1 & w_i^2 & \dots & w_i^s \end{bmatrix}^T, \delta\dot{\rho}_i = c \cdot \delta\dot{t}_i(t)$$

观测值权阵为 $\mathbf{P}$ ，则有：

$$\hat{\mathbf{x}} = (\mathbf{B}^T \mathbf{P} \mathbf{B})^{-1} \mathbf{B}^T \mathbf{P} \mathbf{w}$$

$$\hat{\sigma}_0 = \sqrt{\frac{\mathbf{v}^T \mathbf{P} \mathbf{v}}{s-4}}$$

$$\mathbf{D}_{\hat{\mathbf{x}}} = \hat{\sigma}_0 \cdot \mathbf{Q}_{\hat{\mathbf{x}}}, \mathbf{Q}_{\hat{\mathbf{x}}} = (\mathbf{B}^T \mathbf{P} \mathbf{B})^{-1}$$

求得接收机速度和接收机钟速。

## 第 3 章 程序详细设计

在这一章具体介绍一些重要函数的命名、输入输出参数、和算法。

### 3.1 读文件模块

open.cpp

命名：openBinary

功能：打开存储了星历、观测数据等数据的二进制文件

参数：FILE \* fin，指向二进制文件的文件指针

unsigned char \*buff，存放这一段数据段的无符号字符数组

一段完整的数据段包括同步字、数据头、数据体、CRC 校验码

flag:数值上等于相对文件起始的偏移量，代表每次读取文件的起始位置

\*length: 指针指向的数值为该语句的长度，包括头、体和 CRC 码

sync[3]用来识别是否读到同步字

返回值：flag:下一次读文件的起始位置

算法：寻找同步字；确定数据段的长度；从文件中读取相应长度的数据；

文件位置指针指向该数据段末尾；继续接着寻找同步字



## 3.2 解码模块

decode.cpp

命名: getdata

功能: 从一段语句中提取所需的数据, 存放在相应的结构体中

参数: `const unsigned char *buff`: 存放读取的数据  
`int len`: 数据的头、体、CRC 码的总长度  
`struct RANGE *`: 指向 RANGE 结构体的指针  
`struct GPSEPHM *`: 指向 GPSEPHM 结构体的指针  
`struct IONUTC *`: 指向 IONUTC 结构体的指针

## 3.3 卫星计算模块

solution.cpp

命名: calsat

功能: 判断该卫星是否有星历、星历是否过期  
根据星历计算卫星的位置、速度和钟差信息  
输出到对应卫星的结果结构体里

参数: `const struct GPSEPHM *ephem`: 该卫星对应的星历结构体  
`const struct GPSTIME *time`: 时间, 卫星在该时间下的结果  
`int PRN`: 决定是关于哪颗卫星的结果  
`struct CALSATPOS satpos`: 卫星解算结果结构体

返回值: 如果解算出了相应卫星的结果, 输出该卫星号

## 3.4 电离层模块

solution.cpp

命名: klobuchar

功能: 根据测站的位置以及观测时刻、电离层改正模型结构体  
，解算电离层误差

参数: `const struct GPSTIME *time`: 观测时刻  
`double staXYZ[3]`: 用户接收机的坐标

double eleAngle: 高度角, 高度角单位为弧度, 取值范围-PI~PI  
double azimuth: 方位角, 方位角单位为弧度, 取值范围为 0~2PI  
struct GPSEPHEM \*ephem: 某颗卫星的星历

返回值: double 电离层的改正值

### 3.5 对流层模块

solution.cpp

命名: hopefield

功能: 根据测站位置、气象元素、卫星高度角计算对流层误差改正值

参数: const double staXYZ[3]: 测站的位置  
const double eleAngle: 卫星高度角, 单位为弧度

返回值: double 对流层的模型改正值

### 3.6 单点定位模块

singlepoint.cpp

命名: calsta

功能: 根据观测值结构体, 卫星星历, 进行单点定位算法, 解算接收机的位置、速度, 钟差、钟速

参数: const struct RANGE \*range: 观测值结构体, 包括了观测时间、观测的卫星数和对应卫星的伪距  
const struct GPSEPHEM \*ephem: 卫星星历, 用于解算卫星的位置、卫星钟差  
const struct IONUTC \*ion: 电离层误差改正模型结构体  
struct CALSTAPOS \*stapos: 存放解算出来的接收机的位置、速度、钟差、钟速  
struct CALSATPOS satpos[]: 存放解算出来的各个卫星的位置、速度、钟差、钟速

速

返回值: 0: 正确结算, -1: 未能解算

### 3.7 单点测速模块

singlepoint.cpp

命名: calstavelocity

功能: 根据获取的观测数据, 上一步解出的观测卫星的解算结果 (在信号发射时刻), 和上一步解出的测站的解算结果, 计算测站的速度。

参数: const struct RANGE \*range: 观测数据  
const struct CALSATPOS satpos[]: 观测卫星的解算结果  
struct CALSTAPOS \*stapos: 测站的解算结果

返回值: -1: 解算错误; 0: 正确解算

## 第 4 章 结果和精度分析

### 4.1 结果输出

本程序设计为一旦能够正确解算测站的位置和速度, 就向结果文件输出一行结果; 如若不能正确解算测站位置和速度, 则在控制台输出警告和相应的历元数。

不能正确解算的原因有 1) 卫星星历过期或缺失, 2) 卫星几何条件差, 高度角太低, 3) 观测数据有粗差... ...因为待估参数有 4 个, 所以使用最小二乘法要求能正确参与解算的卫星至少有四颗。

### 4.2 单点定位结果和精度分析

程序计算出来的统计结果如下表 1:

表 1 测站位置结果

	平均值	标准差	最大值
纬度 (°)	30.510019	3.2301e-05	30.510208
经度 (°)	114.356032	1.8048e-05	114.356068
大地高 (米)	33.456622	5.6295	105.316569

从标准差中可以得出结论: 大地高计算出来的离散程度很大, 波动很大, 很不稳定。纬度和经度如果用度来表示, 标准差在  $10^{-5}$  量级, 计算结果是比较平稳的。

绘制图 3, 将纬度、经度和大地高的解算结果直观地显示出来。在大地高的结果中, 有 6 个历元的结果远远高于正常波动, 这 6 个历元对应的是 559851s, 559856s, 559861s, 559866s, 559871s, 559876s。

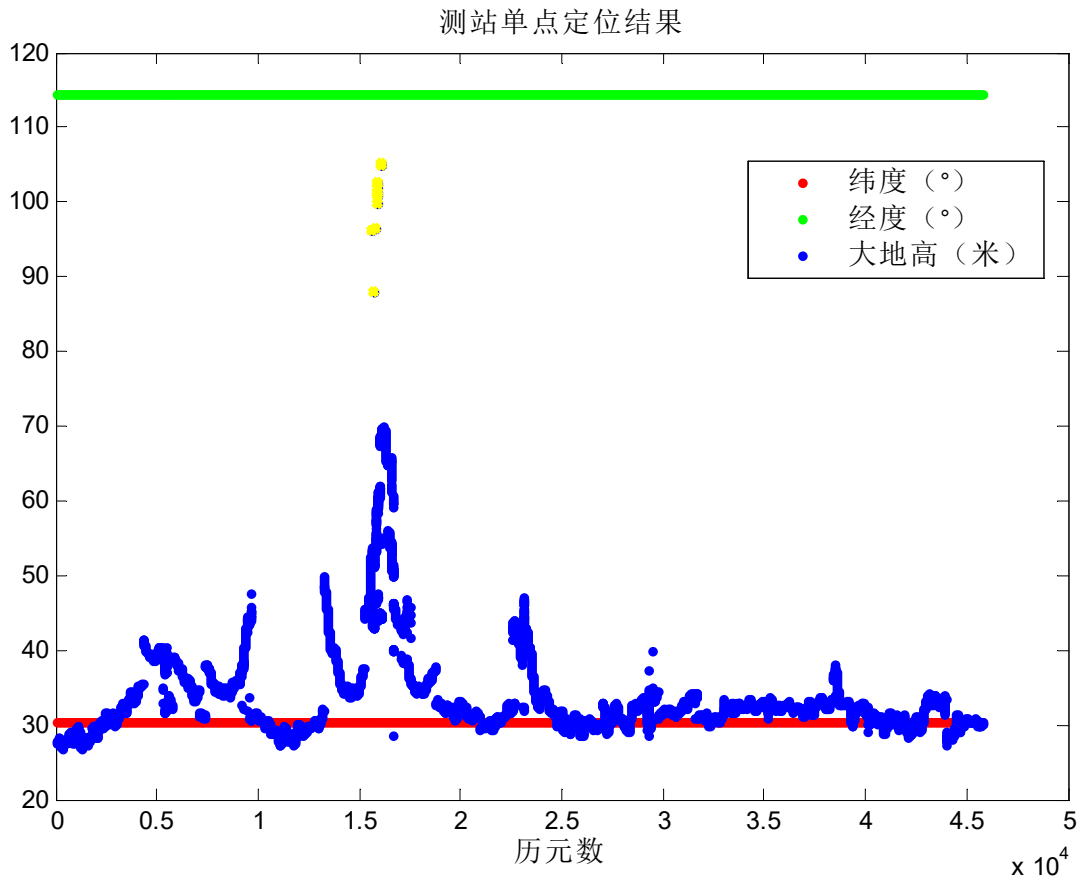


图 3 测站位置结果

同时输出高程结果和 DOP 值分布图，发现两者有很强的相关性，DOP 值越低，高程结果就越好，DOP 值越大，高程结果也越差。这是因为 DOP 值反应了卫星与测站之间的几何关系，几何关系越好，测站的定位结果可能就越好。

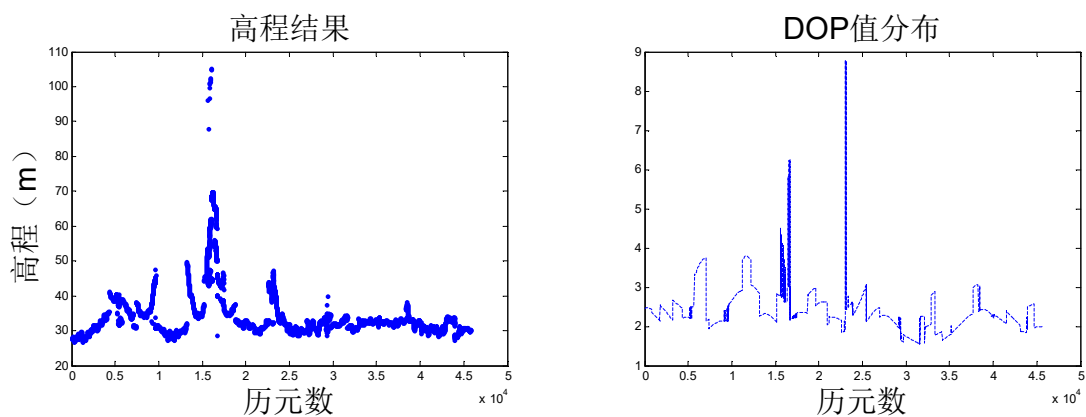


图 4 高程结果与 DOP 值分布图的对比

比较 543993s 的卫星天空投影图和 559851s 的卫星天空投影图，观察卫星空间的分布情况，如图 5 所示，参与 559851 历元位置解算的卫星，它们的高度角普遍较低（低于 10 度以下则放弃这颗卫星），这可能是导致解算结果不良的原因。解算结果不良的原因还可能是某

颗卫星的伪距观测值粗差太大。

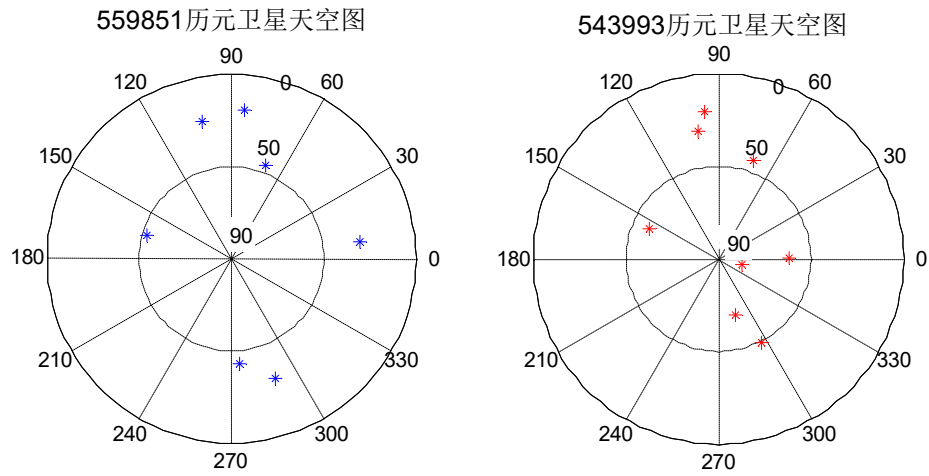


图 5 卫星天空图

为了更好地分析定位结果，将表 1 所示的经纬度和高程的平均值作为测站的参考坐标，然后将参考点坐标由大地坐标系转为东北天的站心坐标系，然后计算每个历元的解算结果在参考点的站心坐标系中的 (E,N,U) 坐标，图 6 直观地显示了每个历元解算结果相对参考点的误差。如图可知，在 559851 历元附近的解算结果，在北向和天向产生了很大的误差。

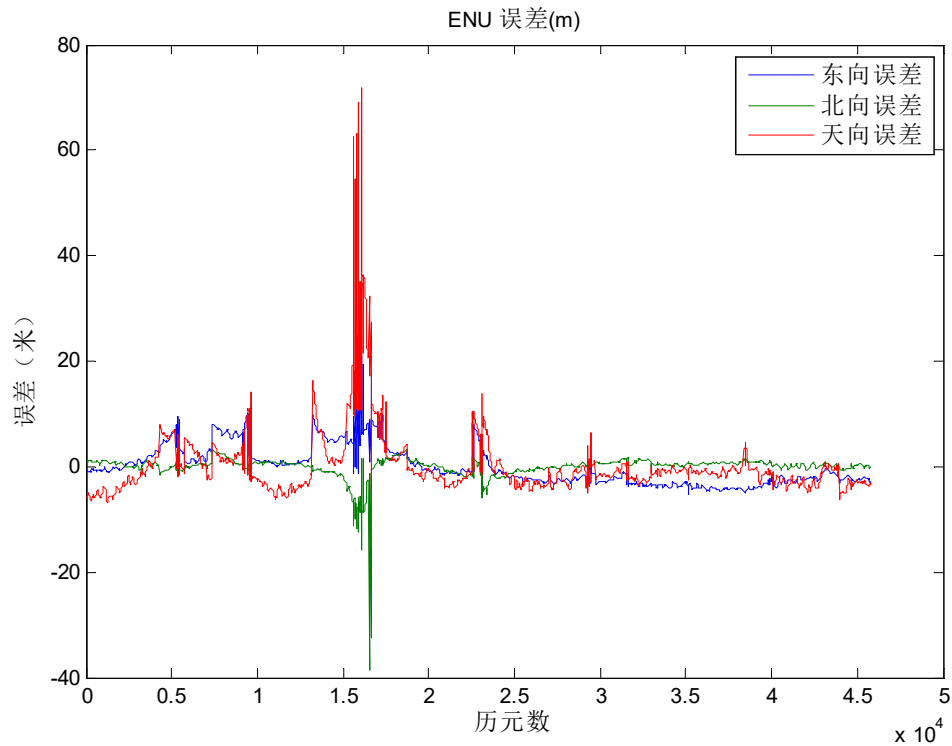


图 6 测站 ENU 坐标的结果

整理完解算结果的内符合精度，再处理解算结果的外符合精度，分别和滤波解算结果、NovAtel 接收机自输出结果、参考单点定位结果进行比较，因为高程方向的解算结果浮动最

大，所以只对比高程的解算结果。如图 7 所示

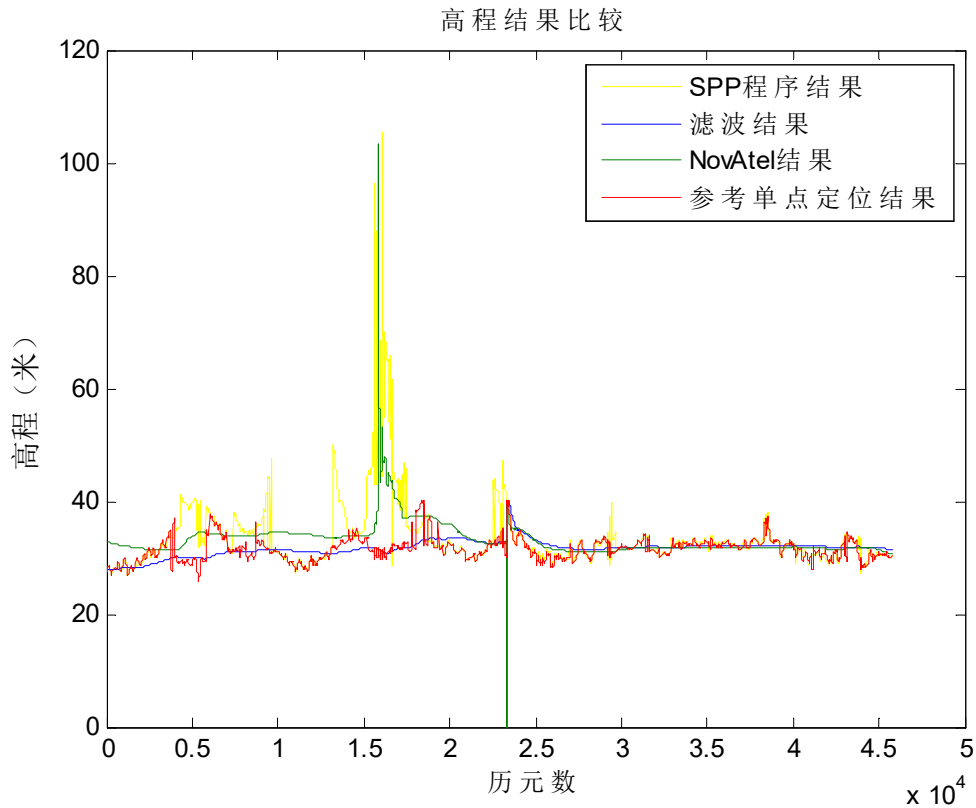


图 7 高程结果比较

本程序的结果精度最差，显著差于滤波定位得到的高程结果，NovAtel 除了个别历元输出结果突然加剧，其余历元和滤波结果较为相符，而参考单点定位结果和本程序结果都不是平滑输出，但参考单点定位处理了较大的粗差，不存在过大的浮动。

综上，本 SPP 程序已经实现了伪距单点定位的精度要求。

### 4.3 单点测速结果和精度分析

根据单点测速的算法设计，计算出测站的 X 向、Y 向、Z 向的速度，既然测站静止，测站的速度应该接近于 0。本程序每个历元计算一次测站速度。除非某历元可用的卫星数小于 4 颗或者观测值数据有问题，则该历元不予计算速度，且在控制台发出警告信息。

各个历元的计算结果的统计数据如下表 2 所示

表 2 测站速度结果

	平均值	标准差	绝对值最大值
X 向速度	-5.1123e-04	0.0350	-6.8017
Y 向速度	0.0017	0.0558	10.8865
Z 向速度	-0.0040	0.0898	18.5511

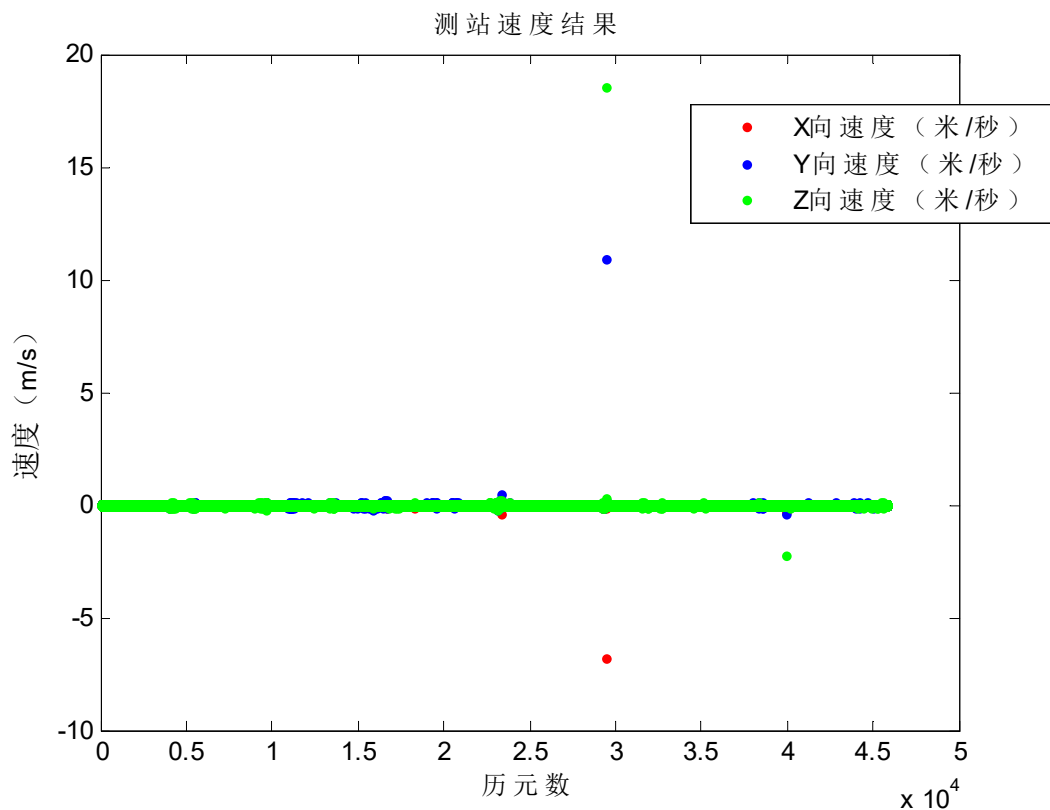


图 8 测站速度结果

如图 8 所示,单点测速的精度很高,几乎每个历元的结果都在 0 附近,而且标准差很小,说明测速结果的离散程度低。

为了探究为什么有的历元的速度结果不尽人意,如图 9 所示,绘出测站速度结果与每个历元解算结果的  $\sigma$  值进行对比。

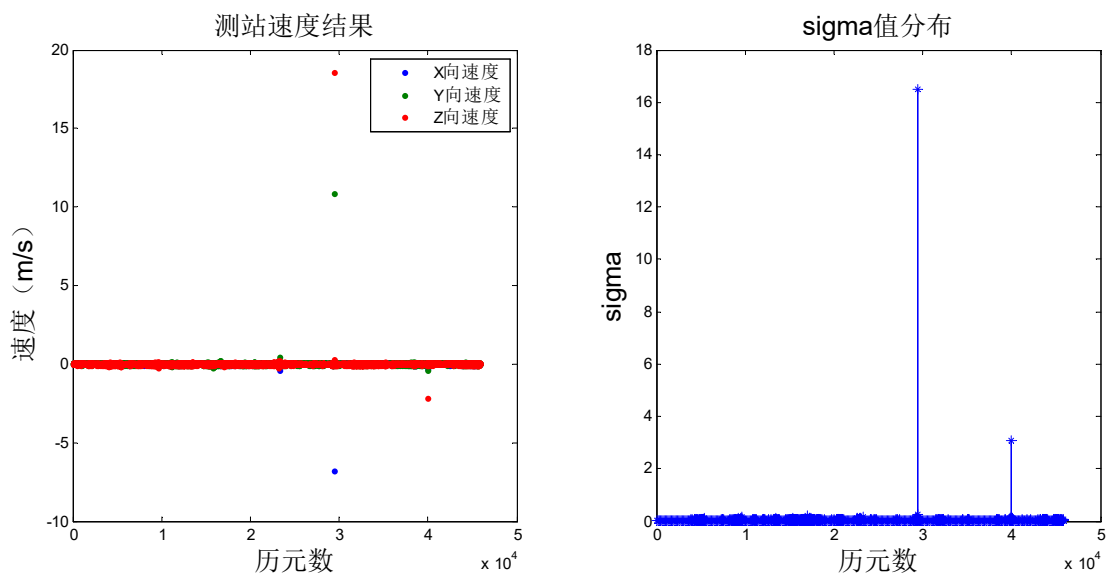


图 9 测站速度结果与  $\sigma$  值分布图的对比

由图 9, 我们可以认为速度解算结果与  $\sigma$  值的分布有很强的相关性, 当  $\sigma$  值很

小时，速度的解算就很好，当  $\sigma$  值很大时，速度的解算就差。因为  $\sigma$  值反应了残差 O-C 值的大小， $\sigma$  越大，残差越大。可以猜测，在产生不良速度结果的历元里，某颗卫星的多普勒观测值有大的粗差。

## 附录：基本公式

### A1 计算卫星位置

1、计算轨道半长轴  $A = (\sqrt{A})^2$

(由于 NovAtel 星历输出的是轨道半长轴，而非轨道半长轴的平方根，这一步不计算)

2、计算平均角速度  $n_0 = \sqrt{\frac{\mu}{A^3}}$

3、计算相对于星历参考历元的时间  $t_k = t - t_{oe}$

(这里的 t 应该是经过卫星钟差改正后的值)

$t_k$  为信号发射时的时间

$$t_k = \begin{cases} t_k - 604800, & \text{当 } t_k > 302400 \\ t_k + 604800, & \text{当 } t_k < -302400 \\ t_k, & \text{其它情况} \end{cases}$$

4、对平均运动角速度进行改正  $n = n_0 + \Delta n$

5、计算平近点角  $M_k = M_0 + nt_k$

6、计算偏近点角（利用下面的开普勒方程，迭代求解）

$$M_k = E_k - e \sin E_k$$

计算真近点角

$$v_k = \arctan\left(\frac{\sin v_k}{\cos v_k}\right) = \arctan\left(\frac{\sqrt{1-e^2} \sin E_k}{\cos E_k - e}\right)$$

7、计算升交角距  $\Phi_k = v_k + \omega$

8、计算二阶调和改正数

$$\text{计算升交角距的改正数 } du_k = C_{us} \sin 2F_k + C_{uc} \cos 2F_k$$

$$\text{计算向径的改正数 } dr_k = C_{rs} \sin 2F_k + C_{rc} \cos 2F_k$$

$$\text{计算轨道倾角的改正数 } di_k = C_{is} \sin 2F_k + C_{ic} \cos 2F_k$$

9、计算经过改正的升交角距  $u_k = \Phi_k + \delta u_k$

10、计算经过改正的向径  $r_k = A(1 - e \cdot \cos E_k) + \delta r_k$



11、计算经过改正的轨道倾角  $i_k = i_0 + \delta i_k + \dot{i} \cdot t_k$

12、计算卫星在轨道平面上的位置 
$$\begin{cases} x_k' = r_k \cos u_k \\ y_k' = r_k \sin u_k \end{cases}$$

13、计算改正后的升交点经度  $\Omega_k = \Omega_0 + (\dot{\Omega} - \dot{\Omega}_e) \cdot t_k - \dot{\Omega}_e \cdot t_{oe}$

14、计算在地固坐标系下的位置

$$\begin{cases} x_k = x_k' \cos \Omega_k - y_k' \cos i_k \sin \Omega_k \\ y_k = x_k' \sin \Omega_k + y_k' \cos i_k \cos \Omega_k \\ z_k = y_k' \sin i_k \end{cases}$$

## A2 计算卫星速度

$$\dot{E}_k = \frac{n}{1 - e \cos E_k}$$

$$\dot{\Phi}_k = \left( \frac{1+e}{1-e} \right)^{1/2} \frac{\cos^2(\frac{v_k}{2})}{\cos^2(\frac{E_k}{2})} \dot{E}_k$$

$$\dot{u}_k = 2(C_{us} \cos 2\Phi_k - C_{uc} \sin 2\Phi_k) \dot{\Phi}_k + \dot{\Phi}_k$$

$$\dot{r}_k = ae \sin Ek \dot{E}_k + 2(C_{rs} \cos 2\Phi_k - C_{rc} \sin 2\Phi_k) \dot{\Phi}_k$$

$$\dot{I}_k = \dot{i} + 2(C_{is} \cos 2\Phi_k - C_{ic} \sin 2\Phi_k) \dot{\Phi}_k$$

$$\dot{\Omega}_k = \dot{\Omega} - \dot{\Omega}_e$$

$$\dot{R} = \begin{bmatrix} \cos \Omega_k & -\sin \Omega_k \cos i_k & -(x_k' \sin \Omega_k + y_k' \cos \Omega_k \cos i_k) & y_k' \sin \Omega_k \sin i_k \\ \sin \Omega_k & \cos \Omega_k \cos i_k & (x_k' \cos \Omega_k - y_k' \sin \Omega_k \cos i_k) & y_k' \cos \Omega_k \sin i_k \\ 0 & \sin i_k & 0 & y_k' \cos i_k \end{bmatrix}$$

$$\dot{x}_k' = \dot{r}_k \cos u_k - r_k \dot{u}_k \sin u_k$$

$$\dot{y}_k' = \dot{r}_k \sin u_k + r_k \dot{u}_k \cos u_k$$

$$\begin{bmatrix} \dot{x}_k \\ \dot{y}_k \\ \dot{z}_k \end{bmatrix} = \dot{R} \begin{bmatrix} \dot{x}_k' \\ \dot{y}_k' \\ \dot{\Omega}_k \\ \dot{I}_k \end{bmatrix}$$

### A3 计算卫星钟差

$$(\Delta t_{SV})_{L1} = a_0 + a_1(t - t_{oc}) + a_2(t - t_{oc})^2 + \Delta t_r - TGD$$

$$\Delta t_r = Fe\sqrt{A} \sin E_k$$

$$F = \frac{-2\sqrt{\mu}}{c^2}$$

其中： $\Delta t_r$  为相对论效应改正

### A4 计算卫星钟速

$$(\Delta t_{SV})'_{L1} = a_1 + 2a_2(t - t_{oc}) + \Delta t'_r$$

$$\Delta t'_r = Fe\sqrt{A} \cos E_k \dot{E}_k$$

$$F = \frac{-2\sqrt{\mu}}{c^2}$$

其中： $\Delta t'_r$  为相对论效应改正的导数

### A5 电离层改正

$$1. \psi = \frac{0.0137}{E+0.11} - 0.022$$

$$2. \phi_1 = \phi_u + \psi \cos A$$

$$\text{if } \phi_1 > +0.416 \text{ then } \phi_1 = 0.416; \text{if } \phi_1 < -0.416 \text{ then } \phi_1 = -0.416$$

$$3. \lambda_l = \lambda_u + \frac{\psi \sin A}{\cos \phi_1}$$

$$4. \phi_m = \phi_l + 0.064 \cos(\lambda_l - 1.617)$$

$$5. t = 43200\lambda_l + t_{GPS}$$

$$\text{if } t \geq 86400, t = t - 86400; \text{if } t < 0, t = t + 86400$$

(注意：这里的 t 应该是一天之内的秒数，也就是周内秒对 86400 求余)

$$6.A_I = \sum_{n=0}^3 \alpha_n \phi_m^n$$

$$\text{if } A_I < 0, A_I = 0$$

$$7.P_I = \sum_{n=0}^3 \beta_n \phi_m^n$$

$$\text{if } P_I < 72000, \text{thence } P_I = 72000$$

$$8.X_I = \frac{2\pi(t-50400)}{P_I}$$

$$9.F = 1.0 + 16.0(0.53 - E)^3$$

$$10.I_{L1GPS} = \begin{cases} [5 \cdot 10^{-9} + \sum_{n=0}^3 \alpha_n \phi_m^n (1 - \frac{X_I^2}{2} + \frac{X_I^2}{24})] \cdot F; |X_I| \leq 1.57 \\ 5 \cdot 10^{-9} \cdot F; |X_I| > 1.57 \end{cases}$$

## A6 对流层改正

$$\Delta_{Trop} = \Delta_d + \Delta_w = \frac{K_d}{\sin(E^2 + 6.25)^{\frac{1}{2}}} + \frac{K_w}{\sin(E^2 + 2.25)^{\frac{1}{2}}}$$

$$K_d = 155.2 \cdot 10^{-7} \cdot \frac{p}{T} (h_d - H)$$

$$K_w = 155.2 \cdot 10^{-7} \cdot \frac{4810}{T^2} e(h_w - H)$$

$$h_d = 40136 + 148.72(T_0 - 273.16)$$

$$h_w = 11000$$

$$e = RH \cdot \exp(-37.2465 + 0.213166T - 0.000256908T^2)$$

$$T = T_0 - 0.0065(H - H_0)$$

$$p = p_0 \cdot (1 - 0.0000226 \cdot (H - H_0))^{5.225}$$

$$RH = RH_0 \cdot \exp(-0.0006396 \cdot (H - H_0))$$

其中：H<sub>0</sub>为参考面的高度，T<sub>0</sub>、p<sub>0</sub>和RH<sub>0</sub>分别为参考面的干温、气压和相对湿度；  
H为测站高度，T、p和RH分别为测站上的干温、气压和相对湿度；  
E为卫星相对于测站的高度角，以度为单位

标准气象元素：

$$H_0=0m$$

$$T_0=15^{\circ}\text{C}$$

$$p_0=1013.25\text{mbar}$$

$$\text{RH}_0=0.5$$

## A7 计算卫星方位角和高度角

$$\begin{aligned} \begin{bmatrix} N \\ E \\ U \end{bmatrix}_S &= H \begin{bmatrix} \Delta X \\ \Delta Y \\ \Delta Z \end{bmatrix}_{SP} = H \left( \begin{bmatrix} X \\ Y \\ Z \end{bmatrix}_S - \begin{bmatrix} X \\ Y \\ Z \end{bmatrix}_P \right) \\ H &= \begin{bmatrix} -\sin B \cos L & -\sin B \sin L & \cos B \\ -\sin L & \cos L & 0 \\ \cos B \cos L & \cos B \sin L & \sin B \end{bmatrix} \\ \begin{cases} r = \sqrt{N^2 + E^2 + U^2} \\ A = \arctan \frac{E}{N} \\ E = \arcsin \frac{U}{r} \end{cases} \end{aligned}$$

其中:  $\begin{bmatrix} X & Y & Z \end{bmatrix}_S^T$  为卫星的地心坐标系坐标;

$\begin{bmatrix} X & Y & Z \end{bmatrix}_P^T$  为观测站的的地心坐标系坐标;

$B, L$  为测站的大地纬度和大地经度

$r$  为卫星到测站P的距离,  $A$  为方位角,  $E$  为高度角